

ภาพที่ ๑.67 การคำนวณด้วยวิธี SPI โดยใช้ปริมาณน้ำฝนรายฤดูกาล (ก.ย.-พ.ย.)

ปี พ.ศ.2540 สอดคล้องกับรายงานภัยแล้ง 21.9%

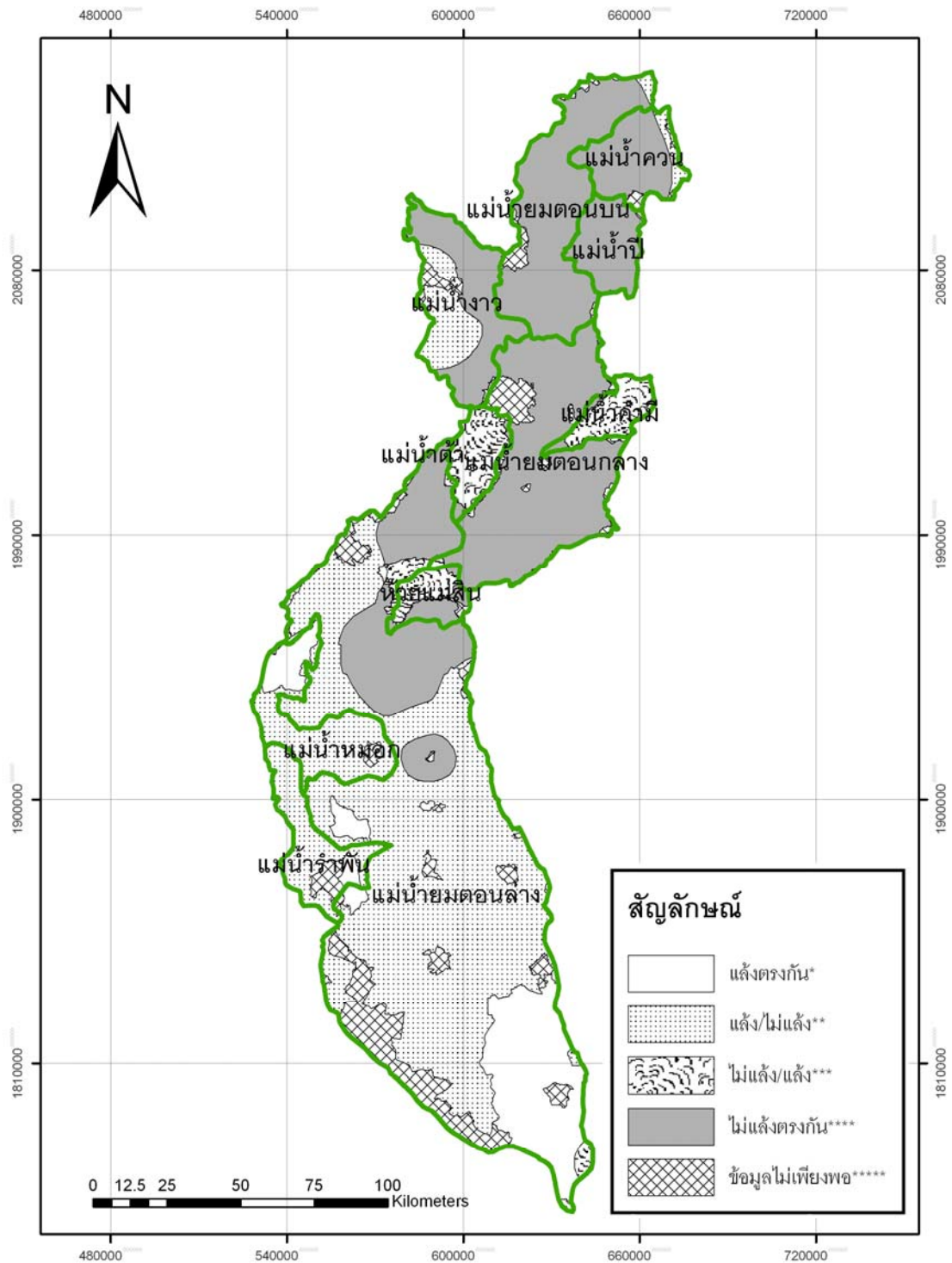






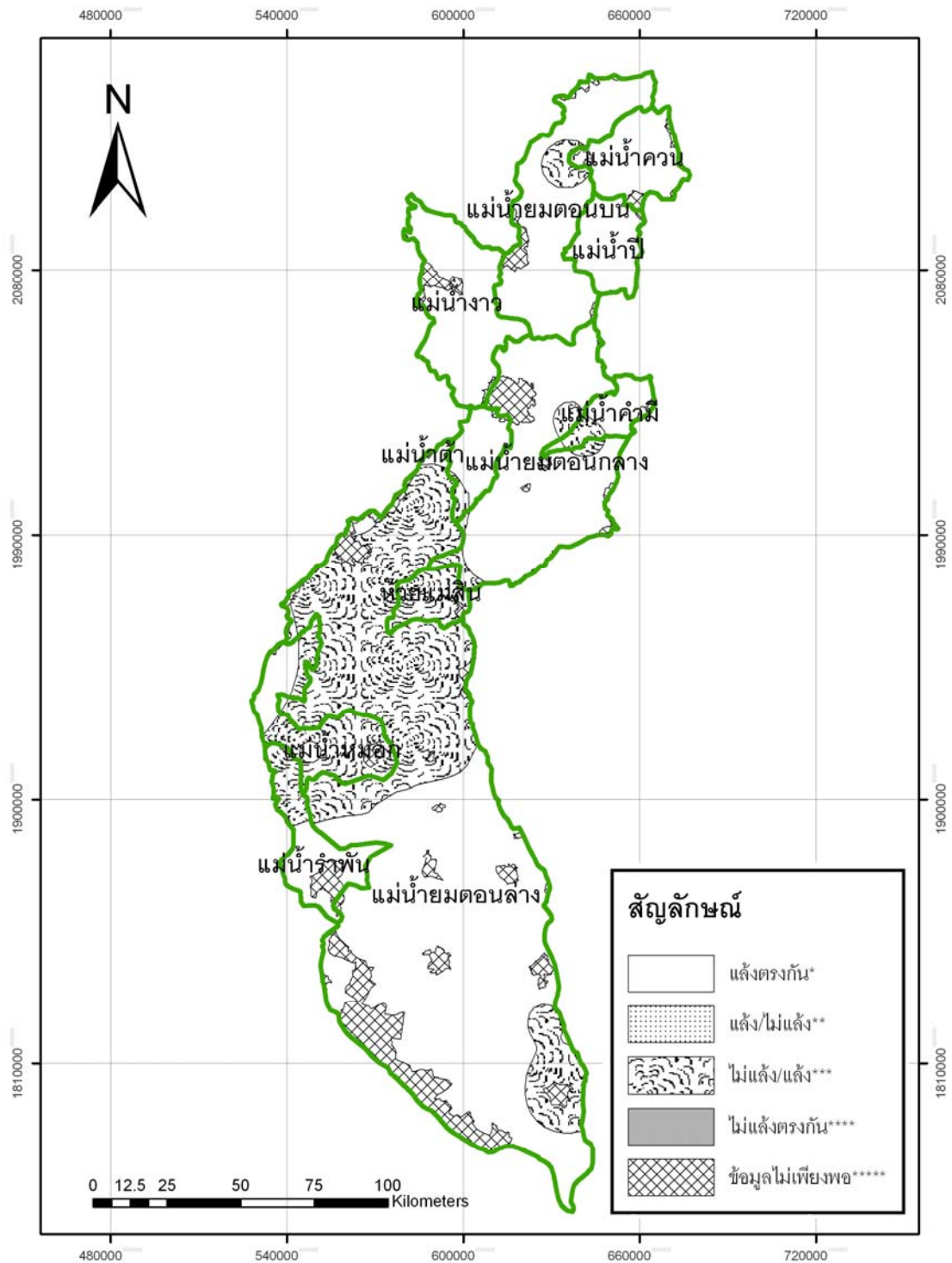






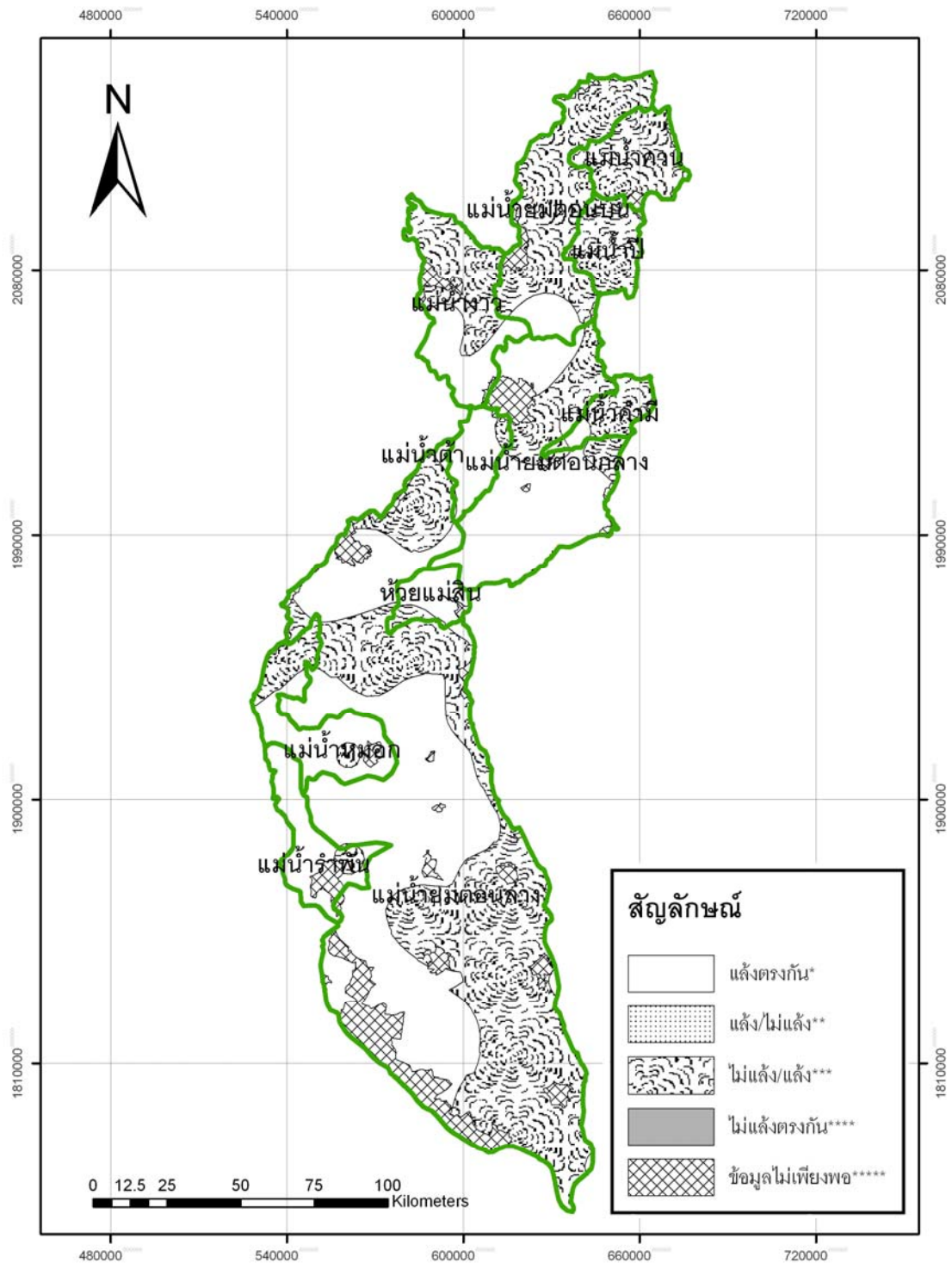
ภาพที่ ๑.73 การคำนวณด้วยวิธี GMI โดยใช้ปริมาณน้ำฝนรายฤดูกาล (ม.ย.-ก.ย.)

ปี พ.ศ.2540 สอดคล้องกับรายงานภัยแล้ง 51.3%



ภาพที่ ๑.74 การคำนวณด้วยวิธี GMI โดยใช้ปริมาณน้ำฝนรายฤดูกาล (ม.ย.-ก.ย.)

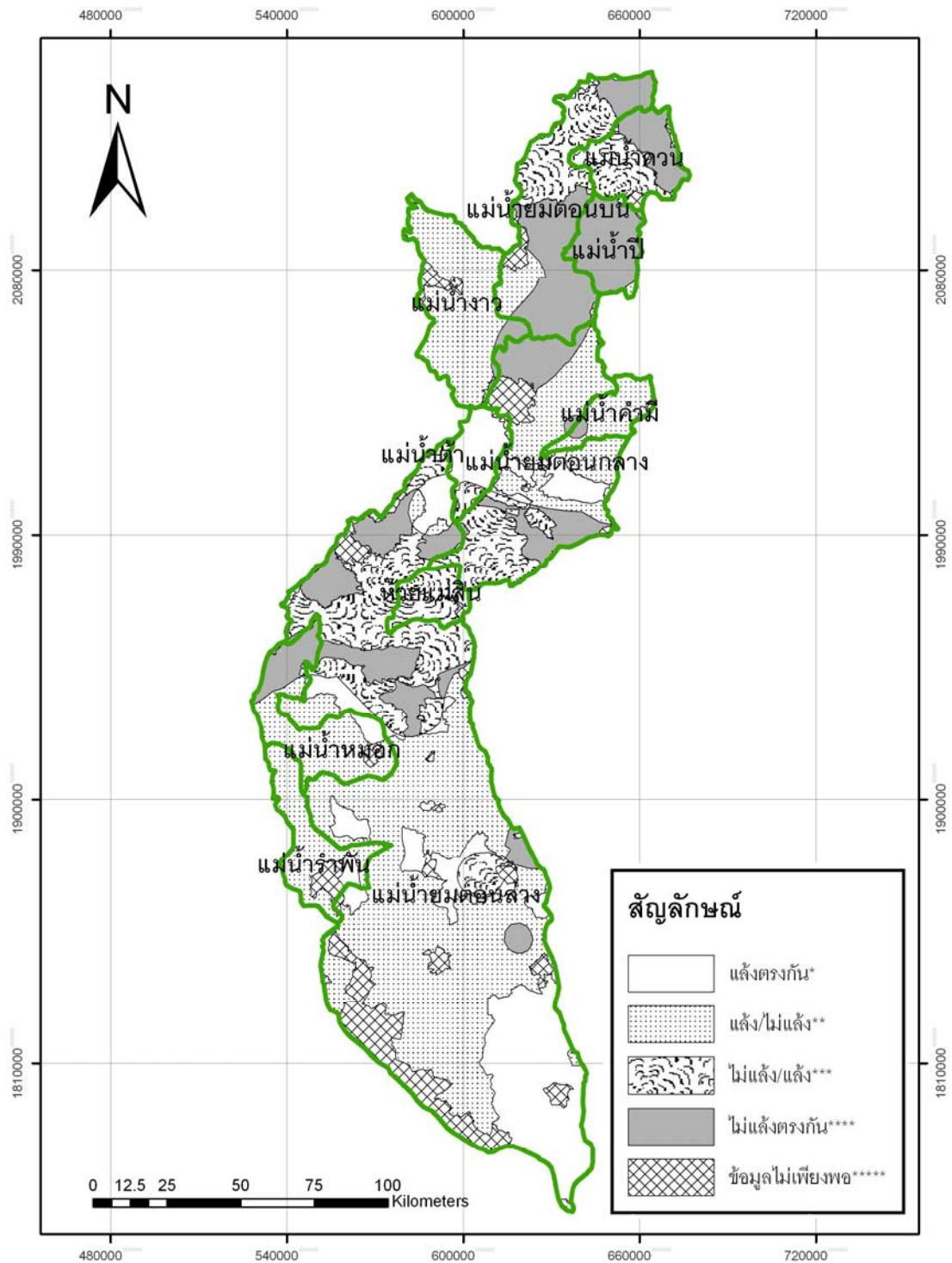
ปี พ.ศ.2541 สอดคล้องกับรายงานภัยแล้ง 69.5%



ภาพที่ จ.75 การคำนวณด้วยวิธี GMI โดยใช้ปริมาณน้ำฝนรายฤดูกาล (ม.ย.-ก.ย.)

ปี พ.ศ.2542 สอดคล้องกับรายงานภัยแล้ง 48.5%





ภาพที่ ๑.๗๗ การคำนวณด้วยวิธี GMI โดยใช้ปริมาณน้ำฝนรายฤดูกาล (ม.ย.-ก.ย.)

ปี พ.ศ.๒๕๔๖ สอดคล้องกับรายงานภัยแล้ง ๓๔.๘%